Vol.10 No.4 Dec., 1 9 9 0

杉木人工林凋落物动态及其与气候因 素的相关分析*

温远光 韦盛章 秦武明

(广西农学院林学分院,南宁)

摘 要

本文是广西森林生态系统研究的一部分,对桂北杉木人工林凋落物的数量、组成和动态特局及气候特点进行了 5 年的综合定位研究,结果表明。里骆威年杉木林年均凋落物量有4.621吨/公顷,变 动系数19.46—28.34%。杉木纯林凋落物各组分的比值相当稳定,标准差 < 5 %) 杉叶占凋落物总量的46.47%,枝为18.47%,花果为18.91%,杂物为18.20%。凋落量的季节变化格局是,随气候的变冷变干有一秋末一春初的凋落高峰期(11—4月)。并定量地分析了17个气候因素与凋落物的相关性,研究表明低温干旱和风力是影响凋落物量和动态的关键因子。

关轴词: 杉木,凋暮物,动态,气候因素,相关分析。

目前关于森林凋落物量及其影响系统物质循环、能量流、植物营养状况、林 地 土 壤 侵 蚀、森林水源涵养、生物种群、植物种子更新及土壤理化性质等方面的研究报道已很多 [1-12] 但对于森林凋落物动态与气候相关性问题,则缺少综合研究和定量分析。本文在 5 年定位综合研究的基础上,全面定量分析讨论了桂北杉木人工林凋落物的数量、组成、季节变化格局以及与气候的相关性。

一、样地概况和研究方法

里骆生态站位于桂北山区,北纬 25°50′,东经 110°04′。观测样地分别设置在周一坡面不同坡位。样地概况见表 1。

观测样地面积800m²,各设置8个(面积为1m²)尼龙网收集框。每月末收集凋落物。在各样地,按组分(杉木叶、枝、花果和杂物)测其干重。观测期是1981年1月—1985年12月。

表 7 杉木林祥地概况。

Table 1 The general situation in sample plots of chinense fir forest

样	Ŋ.						Ę						
地	坡	位	梅 拔 (m)	树龄	部 度 (n/ha)	郁闭度	平均胸径 (cm)	平均树高 (m)	平均短幅 (m²)	平均冠长 (m.)	树冠生物量 (t/ha)	总生物量 (t/hs)	書 积 量 (m ³ /ha)
I	ፑ ፣	地	350	23	1160	0.7	18,5	14.8	7.4	7 . G	24,40	118,98	217,50
I	中	坡	980	23	1288	0.7	17.3	13.2	6,8	7,6	24,80	115.92	202,72
I	Ŀ	坡	410	23	2325	0.6	16,9	8.B	9.2	4,8	17,50	73,64	107,77

^{■ 1980}年間定。

^{*} 本院生态研究室及里路生态站有关问志参加观测研究,特表示谢忱。 本文于1989年 1 月14日收到。

在 I 样地西则约500m 等高坡位上砍伐16亩杉木林, 按《地面气象观测规 范》⁽¹³⁾ 设 置空地气象观测场,并进行日常观测。

二、研究结果分析

1. 凋期物总量

里路杉木人工林年均凋落物总量为 4.621t/ha, 年际标准差 0.8794—1.2244, 变动系数 19.40—28.34%。坡位引起的标准差0.7140, 变动系数15.46%。年际波动>坡位波动。

研究表明,同一树种不同林分凋落量存在一定差异。 II 样地的林分密度是 I、 II 样地的 2.1和1.8倍,而凋落量仅是 I、 II 样地的73.69%和86.81%。 凋落量与林分生长状况紧密相关。 II 样地虽密度大,但其各种生长指标(表 1)仅是 I、 II 样地的50%左右,其林木矮小、树冠窄短,枝叶量少,上坡充足的阳光有利于针叶寿命的维持。 I、 II 样地则情形相反。可见,样地间凋落量的差异,主要是由于林分生长差异和小生境的不同所致。

与会同同类林分(1.76t/ha)比较(*1, 里骆的年均凋落量较高,而与鼎湖山和尖峰岭的阔叶林(7.1—9.7t/ha)相比[1.81, 杉木针叶林的年凋落量较小。

2. 凋萬物的组成

凋落物各组成的观测结果详见表 2 , 这里杉叶和花果的比值与会 同 杉 木 林 (48,2%和 18,76%)相似 [41] , 叶量明显低于阔叶林(64—76%) [1.61] , 而花果的比值高于阔叶林。

肿 花果 杂物 量总 样 t/ha-a S.D. t/ha-a S.D. t/ha·a S.D. t/ha·a S.D. t/ha·a S.D. 地 % % % 0.261 0.842 0.272 5.382 2.584 0.691 1.064 0.221 0.892 1,224 I 47.70 4.15 19.86 1.10 15,74 1,38 16.85 4.76 100 0,399 0.854 0.396 0.836 0.217 0.824 0.057 4.552 0.879 2,042 I 44.88 3.39 18,11 4.60 18,35 3,36 3,67 100 18.58 I 1) 1,750 0.524 0.693 0.386 0.640 0,266 0,690 0.179 3.773 1,118 48.84 3.82 17.45 3.36 16.65 2.10 19.10 100 5.39 X 2 119 46 47 -0.869 18.47 - 0.773 16.91 -0.802 18,20 4.562 100 0.186 1.25 - 0.115 1.32 0 103 1 10 0.795

表 2 凋落物量及其组成的分配率 Table 2 The compositions of litter-fall

3. 凋落物动态

杉木人工林凋落物的季节变化格局见图 1。

由图 1 可见,凋落物总量的月变化呈 "U"形特征。经用 8 种数学模型拟合,除杂物外,**凋蒸物总量、枝、**叶和花果都以二次曲线式拟合最好,结果列于表 3 。除杂物外各组分量间相**关紧密,其动**态规律具有共同的特点。

凋落物的月际变化悬珠,变动系数 >100%,月凋落量最大值与最小值相差数十倍,峰略明显。如1982年,月均凋落量是0.335t/ha,变异系数104.17%,最大值(1月1.13t/ha)与最小值(7月0.02t/ha)相差56.5倍。

¹⁾为使各组分比值更接近实际, 计算时扣除情况太特殊的1981年, 放年均总量偏小, 0.177t/ha。

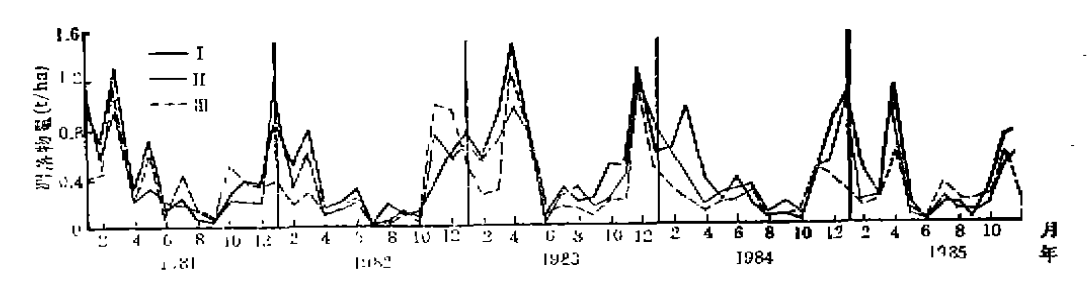


图 1 杉木林凋落物的季节变化格局 Fig. 1 Seasonal patterno Slitter-fall in chinense fir plantation

表 3 满落物各组成的回归方程1)

Table 3 The regression equations of components in litter-fall

组成	回 妇 方 程	相关系数	剩余标准差	显著性 (F值)
总量	$y_1 = 1.11075 - 0.26071x + 0.017805x^2$	0,9019	0,1179	19.62**
枝	$y_2 = 0.26198 - 0.06731x + 0.004553x^2$	0,9616	0,0183	55,16 **
n -	$y_3 = 0.58089 - 0.14299x + 0.009574x^2$	0.8857	0.0723	16,38 **
花 果	y4 = 0.21980 - 0.04874x + 0.003079x2	0.8817	0.0273	15.72**
杂物的	y ₅ = 0.03805 • 1.07891*	0.6291	0,1560	6,55*

¹⁾ 据 其样地资料列表。**一极显著;*一显著。

表 4 凋蒸物的季节分配(%)

Table 4 Seasonal distribution of litter-fall (%)

			月	份			
地点及类型	11—2		34		6 —10		
	合 计	月平均	合 计	月平均	合 计	月平均	
里 骆,杉木林	53,02	13,26	23.76	11.63	23.62	3.94	
会 同,杉木林	34,28	8,57	27.79	13,90	37.93	6.32	
鼎麴山,常绿闺 叶林	23,31	5,83	21,47	10.74	55.21	9.20	
尖峰岭,山地丽林	23.6	5.00	26.7	13,4	49.7	8,2	
尖峰岭,半落叶季雨林	22.0	5.5	25.9	13.0	52.1	8.7	

里骆杉木林凋落物的月动态规律既不同于常绿阔叶林¹¹¹,也不同于山地雨林和半落叶季雨林¹⁵¹,而且与会同同类林分也不尽一致¹¹¹。这说明森林凋落物的时序性除受树种生物钟控制外,还受约于气候的变化。由表 4 可以看出,里骆杉木林凋落物的季节分配与会同杉木林相似¹¹¹,与热带和南亚热带的阔叶林不同^{111,51}。杉木林都是以旱季(11—2月)和雨季初(3—4月)凋落为主,而尖峰岭和鼎湖山的三种森林类型则以雨季(5—10月)和旱季(3—4月)凋落为主。充分反映了树种特性和气候条件对凋落物季节分配的影响。

综合分析不同年龄阶段杉木林凋落物的研 究 资 料 11 表 明,凋 落 物 的 变 化 可 用 $W=9.76092e^{-10.910.7/4}(r=-0.9535, F=222.5**)$ 表示,其变 化 量 可 用 $W=W\bullet\Delta A$ 即 W=

¹⁾ 杉木幼林和中林资料分别取自广西宜山(五年观测值)和岑溪(三年观测值)生态站。幼林: 6年生,3350林/公顷,郁阳度0.8,中林,16年生,3090株/公顷,郁阳度0.8。

194.405319e^{-1939167/A}·A⁻²· ΔA 计 算,凋 落物的累计量可以 $W = -1.12479 - 0.40852A + 0.099631A^2$ (r = 0.9998, $F = 31240.2^{**}$) 来推算。据此,一个23年生杉木林分其凋落物的累计量可达42.181/h₁,相当于同年林分现存量(115.92t/h₄)的36.39%。由此可见,在森林生产力研究和气候生产力评价中以平均净生产量作为林分生产力指标,结果偏低是相当明显的。同时说明,杉木由造林至主伐(25年)有1/3强的光合产物归还林地,变成林 地 养 分 的 补 给 源。

4. 凋落物量与气候因素的相关分析

林分凋落物量的季节变化格局与气候条件紧密相联。经以三种月凋落物量指标与17个气候因素的单相关分析表明,三种指标与同期的平均气温、最高气温、≥10℃积温、15厘米土温、日照时数、蒸发量、月均温×月雨量的对数、前个月的雨量、平均风速、最大风速呈极紧密相关,与同期的日照百分率、降雨量、雨量 10.1—25.0mm 日数相关紧密,而与降雨日数、雨量 25.1—50.0mm 日数、相对湿度和干燥度相关不紧密。其中仅风速与凋落物量呈正相关,其余为负相关(表 5)。与凋落量呈负相关的因素大多亦与生长呈正相关,这与杉木凋落物节律与生长节律相反,少雨干旱会加速杉木针叶枯黄 1141 的结论相吻合。

表 5 凋落物量与17个气候因素的相关系数

Table 5 Correlation coefficients between production of litter-fall and 17 climatic factors

M	務物組分量	. 总量 . yı	枝 量	叶、量 ***
X	量		<u> </u>	
月平均气温	x 1	-0.8471*	-0.6451*	- 0,6522*
月均最高气温	× 2	-0.6377#	-0,6363 4 .	- 0,6430*
≥10℃月积温	×2 .	- 0.8285*	-0.6242 *	- 0-8283
月均16厘米土沮	×4	- 0.6699 *	-0.6593*	- 0.6703*
月日照时数	× 5	- 0.3734*	-0,3839*	- 0.4162*
月日展百分率	x ₆	-0.2534**	- 0,2390≇#	- 0.2543 **
月降雨量	x 1	- 0.2734**	- 0.255β 5 ₩	- 0.3308 ##
月降爾日数	x 8	-0.0177	-0.0457	- 0.0350
月南量10,126mm]	∃数 ※9	- 0.3176**	-0.2679##	- 0,3259**
月酮量26,160mm	3数 ×10	-0,0006	-0,0184	- 0,0371
月梅相对湿度	X11	- 0,1352	-0'1110	-0.1075
月蒸发量	x12	- 0.5731*	- 0.5807*	- 0 5045*
月干燥度	X13	-0.1941	-0.2190	-0 1393
x1.Logx7	X2 4	-0.6082*	-0.6014*	-0.6339*
前个月的丽量	X15	-0.4439 *	- 0.4628*	-0.4518*
月均 风速	×16	0.4100*	0.4069*	0,4618*
月最小风速	X17	0_3474*	0.3771*	0.4441*

^{*} 相关极紧密p≤0.01, **相关紧密p≤0.05。

三种凋落物指标与17个气候因素的多元回归分析结果列入表6。

通过比较回归方程中各因素的标准回归系数,可排列出影响林分凋落物各组分量的因素 重要性序列,结果按从大到小整理如下:

月总量:月均温×月雨量的对数、月干燥度、月均最高气温、月均 15cm 土温:季总量:季内月均15cm土温之和、季内月均风速之和、季内月均气温之和。

月枝量: 月均 15cm 土温、月均最高气温、月干燥度;季枝量:季内≥10℃积温之和、季内月雨量在10.1—25mm日数之和。

月叶量,月均15cm土温、月均最高气温、月干燥度、月降雨量、月均风速,季叶量,季 内月均15cm土温之和、季内月均最高气温之和、季内月均风速之和。

从排列中得知,影响各组分月、季凋落物量的气候因素基本相同,其中以 15cm 土温、干燥度、最高气温和风速出现的频率最大,对凋落物的影响最为重要。由此可见,决定杉木 林凋落物量及动态的主导气候因素是低温干旱和风力。

表 6 凋落物量与气候因素的多元回归方程

Table 6 Multiple regression equations between production of litter-fall and climatic factors

组成	时间	回 归 方 程	R	s	Q
总量	月季	$y_1 = 0.80011 + 0.10078x_2 - 0.10824x_4 - 0.36078x_{13} - 0.01238x_{14}$ $y_1 = 1.97764 + 0.03815x_1 - 0.05949x_4 + 0.29041x_{16}$	1 *	0,2250 0,3642	
枝畫。	身		1	0.0571 0.1012	
叶量	月季	$y_3 = 0.3852 + 0.06798x_3 - 0.08549x_4 - 0.00036x_7 - 0.18225x_{13} + 0.1090x_{26}$ $y_3 = 0.64174 + 0.04925x_2 - 0.06659x_4 + 0.19303x_{16}$	1 7 .	0.1315 0.2467	

1)月方程中自变量x意义同表 5, 哥方程中, x1——攀内月的智體之和, x2——攀内月均量高气温之 和, x3——攀内月均气湿≥10℃积温之和, x4——攀内月均15厘米土温之和, x9——季内月干燥度之和, x16——季内月均风速之和。

三、结 语

- 1. 里骆23-28 年生杉木林年均凋落量有 4.621t/ha, 气候引起的凋落量年际最大标准 差1.2244, 变动系数28.34%。林分生产力差异引起的凋落量标准差0.7140,变动系数15.46%。
- **2.** 年间凋落物各组分量的分配率标准差<5%, 样地间<1.5%。杉叶占凋落物 总量的46.47%、枝18.47%、花果16.91%、杂物18.20%。
- 3. 杉木林凋落量的月变化呈"U"形特征,可用 $y=1.11075-0.26071x+0.017805x^2$ 来表示,凋落量的季节变化格局是随气候的变冷变干有一明显秋末一春初的凋落高峰期,随气候的变暖变湿有一明显的夏季低峪,凋落量的年际变化规律是随林龄增长而增加,其变化可用 $y=9.76092e^{-18:8167/A}$ 来刻划,凋落物的累计量可用y=-1.12479-0.408519A+0.099604 A^2 来估算。
- **4.** 林分凋落量及动态与气候紧密相关,研究地区秋冬季的低温于旱**和风是引起凋落量** 和节律波动的主要原因。

参考文献

- [1]屠梦照,1984, 鼎湖山南亚热带常绿闽叶林凋落物量,《热带亚热带森林生态系统研究》, 第二集,第18—20页。科学普及出版社广州分社。
- [2] 温远光等, 1986、里路杉木人工林的凋落物产量, 林业科技通讯(7), 12-16。
- [3] 罄柏容等, 1984, 长白山主要森林生态系统的调落物量及养分含量,《森林生态系统研究》,第四卷,第18—23页,中国林业出版社。
- [4] 冯宗炜等, 1985, 亚热带杉木纯林生态系统中营养元素的积累, 分配和循环的研究, 植物生态学与地植物学丛刊 9(4); 245—256。

- [5] 卢俊培等,1988,海南岛尖峰岭热带林凋落物研究初报,植物生态学与地植物学学报 12(2): 104-111。
- [6] Vitousek P. M., 1984. Litterfall, nutrient cycling and nutrient limitation in tropical forests. Ecol. 65(1), 285--298.
- 〔7〕 井上宏,1978,森林状态与地表侵蚀(地被物的效果),水土保持译丛 7,63-70。
- [8] 温远光等, 1988, 里骆森林涵养水源功能的初步分析, 林业科技通迅 5: 19-22。
- 〔9〕 順长職, 1985, 论枯枝暮叶层在山地森林水文作用中的重要性,《森林生态系统研究》, 第五卷, 第230—244页, 中国林业出版社。
- [10] 陶大立等, 1985, 死活地被物对红松伴生树种天然更新影响的实验研究, 植物生态学与地植物 学 丛 刊 9(1), 47—57。
- 〔11〕 轉有绪, 1981, 川西亚高山冷杉枯枝落叶层的群藉学作用, 植物生态学与地植物学丛刊 5(2): 80-98。
- (12) Mcclaugherty C. A., 1985. Forest litter decomposition in relation to soil nitrogen dynamics and litter quality, Ecol. 66(1): 286-275.
- [13] 中央气象局, 1979, 《地面气象观测规范》, 第1—186页, 气象出版社。
- 〔14〕 温远光等,1987, 里嘉林区杉木生态物候学的初步研究,生态学杂志 6(6): 10-16。

ANALYSIS ON THE LITTER-FALL DYNAMICS OF CHINENSE FIR PLANTATION AND ITS CORRELATION TO CLIMATIC FACTORS IN NORTH GUANGXI

Wen Yuanguang Wei Shengzhang Qin Wuming (Forestry Branch, Guangxi Agriculture College)

This paper deals vith a part of stationary research on the forest ecosystems in Guangxi and relates to the production, components and seasonal pattern of litter-fall in chinense fir (Cunninghamia lanceolata) plantation as well as climatic characteristics over a 5-, car-stud, -period in North Guangxi. The results show that the mean annual litter in chinense fir plantation is 4.621 t/ha with Cv of 19.40—28.34% in Liluo. The rate of each component of litter-fall is ver stable vith in S.D. < 5%. The leaf fraction is 46.47% of annual total litter-fall in chinense fir forest, twig fraction, 18.47% cones fraction, 16.91%; and miscellaneous franction, 18.21%. The seasonal pattern of littering exhibits a distinct peak from the late autumn to carl spring as the veather gets colder and dric (Nov. to Apr.) The correlation bet cen 17 climatic factors and litter-fall characters is anal sed quantitativel. The lo er temperature dr. and vind have been identified as the ke,-factors influencing the production and d namics of the litter in chinense fir plantation.

Key words: Cunninghamia lanceolata, litter-fall, d namics, climatics factors, correlative analysis.